功能材料

负载香豆素衍生物 MOF 荧光探针的制备 及其对 Al³⁺的荧光增强识别

孙超凡¹, 张兴天¹, 侯丽伟¹, 张 永², 唐万侠¹, 马文辉^{1*}

(1. 齐齐哈尔大学 化学与化学工程学院,黑龙江 齐齐哈尔 161006; 2. 齐齐哈尔大学 材料科学与工程学院,黑龙江 齐齐哈尔 161006)

摘要:以 2-氨基对苯二甲酸(BDC-NH₂)和六水合硝酸锌为原料,室温下制备了金属有机骨架(MOF)材料 MOF-5-NH₂,将香豆素衍生物 7-*N*,*N*'-二乙氨基香豆素-3-氨基硫脲亚氨采用浸渍法封装到 MOF-5-NH₂的孔道中,制备了荧光探针 MOF-5-NH₂@Coumarin。利用 SEM、XRD、FTIR 和 XPS 对 MOF-5-NH₂和 MOF-5-NH₂@Coumarin 的微观形貌和结构组成进行了表征,通过荧光分光光度计考察了探针 MOF-5-NH₂@Coumarin 对 Al^{3+} 的特异性荧光增强响应识别能力,以及在常见金属阳离子(K⁺、Ca²⁺、Na⁺、Mg²⁺、Fe³⁺、Co²⁺、Cu²⁺、Zn²⁺、Ag⁺、Cd²⁺、Pb²⁺、Cr³⁺、Hg²⁺、Ni²⁺)存在情况下的抗干扰荧光识别 Al^{3+} 的性能。评价了其可逆识别和实际水样(湖水、自来水)中识别 Al^{3+} 的能力。结果表明,乙醇中,探针 MOF-5-NH₂@Coumarin 对 Al^{3+} 具有特异性荧光增强响应识别能力,检出限为 0.163 μ mol/L,并且具有较强的抗干扰能力和良好的裸眼识别的能力,检测时间 < 300 s;且 MOF-5-NH₂@Coumarin 可以实现对 Al^{3+} 可逆识别,并能用于实际水样中 Al^{3+} 的识别和检测。

关键词:金属有机骨架;香豆素;封装;荧光识别;Al3+检测;功能材料

中图分类号: O657.3 文献标识码: A 文章编号: 1003-5214 (2025) 07-1492-09

Preparation of coumarin derivative-loaded MOF fluorescent probe and its fluorescence enhanced recognition for Al³⁺

SUN Chaofan¹, ZHANG Xingtian¹, HOU Liwei¹, ZHANG Yong², TANG Wanxia¹, MA Wenhui^{1*}

(1. College of Chemistry and Chemical Engineering, Qiqihar University, Qiqihar 161006, Heilongjiang, China; 2. College of Material Science and Engineering, Qiqihar University, Qiqihar 161006, Heilongjiang, China)

Abstract: Metal-organic framework (MOF) material MOF-5-NH₂ was prepared from 2-aminoterephthalic acid (BDC-NH₂) and zinc nitrate hexahydrate at room temperature, into which coumarin derivative 7-*N*,*N*′-diethylaminocoumarin-3-amino thiourea iminium was encapsulated *via* impregnation method to obtain the fluorescent probe MOF-5-NH₂@Coumarin. The microtopography and structural compositions of both MOF-5-NH₂ and MOF-5-NH₂@Coumarin were characterized using SEM, XRD, FTIR, and XPS. The ability of the probe MOF-5-NH₂@Coumarin to recognize the specific fluorescence-enhanced response of Al³⁺ was analyzed by fluorescence spectrophotometer, while the anti-interference fluorescence recognition of Al³⁺ in the presence of common metal cations (K⁺, Ca²⁺, Na⁺, Mg²⁺, Fe³⁺, Co²⁺, Cu²⁺, Zn²⁺, Ag⁺, Cd²⁺, Pb²⁺, Cr³⁺, Hg²⁺, Ni²⁺) was evaluated. The results showed that the probe MOF-5-NH₂@Coumarin exhibited specific fluorescence-enhanced response recognition of Al³⁺ in ethanol, with a detection limit of 0.163 μmol/L, and strong anti-interference ability as well as good naked-eye recognition, with a detection time of less than 300 s. Moreover, the MOF-5-NH₂@Coumarin could achieve the reversible recognition of Al³⁺ and be used for the recognition and detection of Al³⁺ in real water samples.

收稿日期: 2024-05-07; 定用日期: 2024-07-01; **DOI:** 10.13550/j.jxhg.20240373

基金项目: 2021 年黑龙江省省属高等学校基本科研业务费科研项目(145109103); 黑龙江省表面活性剂与工业助剂重点实验室开放课题基金资助项目(BMHXJKF002)

Key words: metal-organic framework; coumarin; encapsulation; fluorescence recognition; Al³⁺ detection; functional materials

铝广泛应用于人们的日常生活和工业生产中。 但 Al³+在人体中过量富集会对中枢神经、骨骼和消化系统产生诸多不利的影响^[1-3]。如何高效、准确识别环境中的 Al³+非常必要。目前,已报道了许多检测 Al³+的方法,如电感耦合等离子体质谱原子吸收光谱法、高效液相色谱法、电化学分析法等^[4]。但仪器成本高、需要专业的人员、程序复杂等问题使上述方法难以用于日常和快速监测。荧光分析法具有灵敏度高、响应时间短、易于操作、成本低等优点,是用于检测低浓度分析物最有吸引力的方法之一。

金属有机骨架 (MOF) 是一种拥有良好孔隙结 构和开放金属位点的配位聚合物, 具有结构多样性 和可修饰性等独特性质,已在催化、气体储存、药 物递送和传感等领域得到了广泛应用[5-7]。发光金属 有机框架 (LMOF) 材料是 MOF 材料的一个重要分 支,在荧光检测领域具有极大的应用潜力[8]。迄今 为止,已经开发了许多具有荧光性质的 MOF 材料应 用于各种分析物,如金属离子、阴离子、有机小分 子等[9-11]的检测。但 LMOF 材料可调荧光性质主要 来自镧系金属离子和复杂的有机配体; 此外, 其还 存在着响应信号弱、灵敏度差和荧光量子产率低等 问题,这极大地限制了其在实际检测中的应用[12-13]。 众所周知, 荧光染料在聚集状态下会发生聚集诱导 猝灭,而 MOF 材料具有的多孔道结构能够为荧光染 料提供分散平台,进而可以减少由其聚集所引起的 猝灭[14]。将荧光染料引入到 MOF 材料孔道结构中, 能够有效改善自身荧光性能,并能够保持其原有的 晶体结构。MOF-5-NH₂具有良好的热稳定性(热分 解温度约 450 ℃)和化学稳定性,并具有较大的孔 径和比表面积, 其多孔结构可以负载不同的荧光客 体(荧光染料、量子点和金属纳米簇等)[15-17]。香 豆素类衍生物具有 Stokes 位移大、荧光量子产率较 高、光稳定性高和修饰容易等优点,常被用于荧光 探针的设计[18-19]。

本文拟通过浸渍法,将 7-N,N'-二乙氨基香豆素-3-氨基硫脲亚氨(III)封装到 MOF-5-NH₂ 的孔道中,制备荧光探针 MOF-5-NH₂@Coumarin,用于荧光增强识别 AI^{3+} ,并且测定其在实际水样中检测 AI^{3+} 的回收率。以期为香豆素类衍生物荧光探针增强识别 AI^{3+} 研究提供参考。

1 实验部分

1.1 试剂与仪器

丙二酸二乙酯、三氯氧磷、哌啶,分析纯,国

药集团化学试剂上海有限公司; 硅胶, 200~300 目, 青岛海洋化工厂; 4-(N,N'-二乙氨基)水杨醛, 分析纯, 北京成宇化工有限公司; 二氯甲烷(DCM)、乙酸乙酯(AEC)、无水乙醇(EtOH)、N,N-二甲基甲酰胺(DMF)、三乙胺(TEA), 分析纯, 天津市科密欧化学试剂有限公司; 1,3-二氨基硫脲(硫代卡巴肼), 分析纯, 英国 Alfa Aesar 公司; 2-氨基对苯二甲酸(BDC-NH₂, 化合物 I, 质量分数 98%), 北京百灵威科技发展有限公司; 六水合硝酸锌〔Zn(NO₃)₂•6H₂O〕,分析纯,沈阳化学试剂厂; 7-N,N'-二乙氨基香豆素-3-甲醛,河南拉瓦锡化工产品有限公司。

H-7650 型扫描电子显微镜(SEM),日本 Hitachi 公司; Spectrum One 型傅里叶变换红外光谱仪(FTIR)、LS55 型荧光分光光度计,美国珀金埃尔默仪器有限公司;EscaLab 250Xi 型 X 射线光电子能谱仪(XPS)、Ultimate 型超高效液相色谱四极杆波谱静电场轨道阱质谱仪,美国 Thermo Fisher Scientific 公司; D8-FOCUS 型 X 射线粉末多晶衍射仪(PXRD)、AV600+BH0055 型超导核磁共振波谱仪,德国Bruker公司。

1.2 方法

1.2.1 MOF-5-NH₂(Ⅱ)合成 合成路线如下所示。

$$\begin{array}{c} NH_2 OH \\ O \\ OH \end{array} \begin{array}{c} Zn(NO_3)_2 \cdot 6H_2O \end{array} \begin{array}{c} DMF/TEA \\ Z5 \ ^{\circ}C \\ H_2N \end{array} \begin{array}{c} NH_2 \\ NH_2 \end{array}$$

向 150 mL 烧杯中依次加入 2.38 g(8 mmol) $Zn(NO_3)_2 \cdot 6H_2O$ 、0.72 g(4 mmol)BDC-NH₂(I) 和 60 mL DMF, 室温搅拌至完全溶解。将 1.7 mL(12 mmol)TEA 缓慢加入到上述混合溶液中, 在室温下进一步搅拌 120 min 后, 离心分离得淡粉色沉淀。将沉淀用 DMF(5×30 mL)、无水乙醇(5×30 mL)进行洗涤,然后,在 60 °C下真空干燥 6 h,得到淡粉色粉末状产物 MOF-5-NH₂(II)1.35 g。

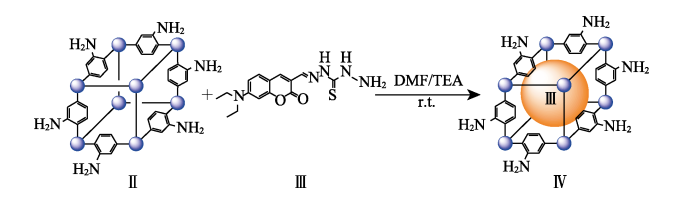
1.2.2 7-N,N'-二乙氨基香豆素-3-氨基硫脲亚氨 (Ⅲ)的合成

合成路线如下所示。

$$0 \\ H + H_2N \\ N \\ NH_2 \\ \hline \begin{array}{c} H \\ N \\ NH_2 \\ \hline \end{array}$$
 EtOH/10% HAC

7-N,N'-二乙氨基香豆素-3-氨基硫脲亚氨(Ⅲ) 参照文献[20]方法合成。在 100 mL 三口烧瓶中,加 入 245 mg(1 mmol)7-N,N'-二乙氨基香豆素-3-甲醛、 212 mg (2 mmol) 1,3-二氨基硫脲和 20 mL 无水乙 醇,用质量分数 10%的醋酸(10% HAc)调节体系 pH=4。随后,将该反应体系在 N2 保护下回流反应 4 h。回流反应结束, 待体系冷却至室温后, 进行抽 滤,滤饼经水洗3~5次、热乙醇洗3次。最后,将 滤饼 60 ℃下真空干燥 8 h, 得到 296 mg 橘黄色固 体粉末,即 7-N,N'-二乙氨基香豆素-3-氨基硫脲亚氨 (Ⅲ), 产率 88.89%。 ¹HNMR (600 MHz, DMSO-d₆), δ : 11.54 (s, 1H), 9.78 (s, 1H), 8.74 (s, 1H), 8.03 (s, 1H), 7.41 (d, *J*=9.0 Hz, 1H), 6.78 (q, *J*=3.6 Hz, 1H), 6.57 (d, *J*=2.4 Hz, 1H), 4.86 (s, 2H), 3.46 (q, *J*=7.0 Hz, 4H), 1.14 (t, J=6.9 Hz, 6H) $_{\circ}$ API-ES MS, $C_{15}H_{19}N_5O_2S$, m/Z: [M+H] ⁺理论值 334.1, 测试值 334.1; [M+Na] ⁺ 理论值 356.1, 测试值 356.1。

1.2.3 MOF-5-NH₂@Coumarin (Ⅳ)的合成合成路线如下所示:



将 $1.00 \text{ g MOF-5-NH}_2$ (\mathbb{I})和 0.36 g(1 mmol)化合物 \mathbb{I} 超声分散在 30 mL DMF 中,室温避光搅拌 12 h,经离心分离后得沉淀物,用 DMF、无水乙醇 多次洗涤,直至上清液薄层色谱法检测无化合物 \mathbb{I} ,将沉淀物在 $60 \text{ } \mathbb{C}$ 真空下干燥 12 h ,得到 1.14 g 橘黄色固体,即 MOF-5-NH $_2$ @Coumarin (\mathbb{I})。

1.3 表征方法与性能测试

SEM 测试: 样品粉末喷金后进行测试,工作电压 5 kV。XRD 测试: 靶材 Cu,管电压 40 kV,管电流 40 mA,扫描范围 2θ =5°~60°。FTIR 测试: 溴化钾压片法,波数范围 4000~500 cm⁻¹。XPS 测试:真空度 5×10^{-5} Pa,能量分析范围为 0~1350 eV。

荧光性能测试:采用荧光分光光度计,在激发波长 340 nm,透过率为全透模式,狭缝宽度 15/7 nm下进行测试。测试的金属离子(K^+ 、 Ca^{2+} 、 Na^+ 、 Mg^{2+} 、 Zn^{2+} 、 Fe^{3+} 、 Co^{2+} 、 Ni^{2+} 、 Cu^{2+} 、 Hg^{2+} 、 Ag^+ 、 Pb^{2+} 、 Cd^{2+} 、 Cr^{3+})均为对应 0.10 mol/L 的硝酸盐水溶液。将 MOF-5-NH₂@Coumarin 配成质量浓度为 30 mg/L 的分散液,然后测定其对不同待测物的荧光响应。

1.4 可逆性识别实验

在 MOF-5-NH₂@Coumarin 的无水乙醇分散液 (质量浓度 30 mg/L) 中交替加入浓度 1700 μ mol/L

的 Al³⁺和乙二胺四乙酸二钠 (EDTA), 并记录每次的 荧光强度。

1.5 实际水样的检测

在实际水样测试中,500 mL 自来水取自齐齐哈尔市自来水管网系统;500 mL 河水取自嫩江齐齐哈尔段;500 mL 湖水取自齐齐哈尔劳动湖。所有测试的水样经过0.22 μm 的微孔滤膜过滤。用20个样品溶液测定该溶液中待测物的含量。在样品中加入不同量的待测物,记录每个样品的荧光信号,每次实验重复3次。

2 结果与讨论

2.1 MOF-5-NH₂@Coumarin 的表征

2.1.1 SEM 分析

图 1 为 MOF-5-NH₂和 MOF-5-NH₂@Coumarin 的 SEM 图。

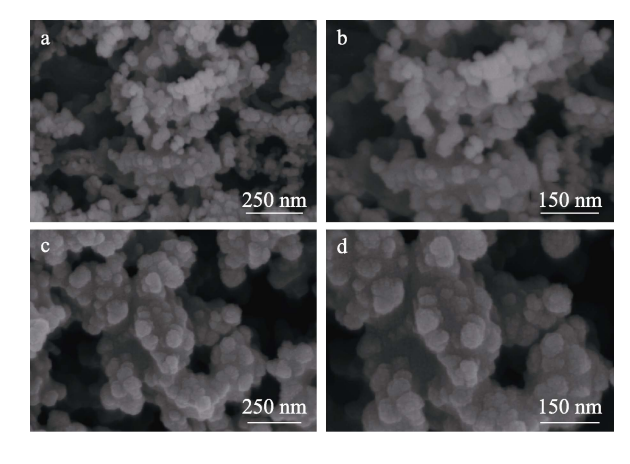


图 1 MOF-5-NH₂(a、b)和 MOF-5-NH₂@Coumarin(c、d)的 SEM 图

Fig. 1 SEM images of MOF-5-NH₂(a, b) and MOF-5-NH₂@ Coumarin (c, d)

从图 1 可以看出,MOF-5-NH₂粒径较小,晶体形貌比较均一(图 1a、b);MOF-5-NH₂@Coumarin仍具有与 MOF-5-NH₂相似形貌结构,但棱角不清晰(图 1c、d)。这可能是由香豆素分子覆盖在 MOF-5-NH₂的表面所致^[21]。

2.1.2 UV-Vis 吸收光谱分析

图 2 为 MOF-5-NH₂、MOF-5-NH₂@Coumarin 和化合物Ⅲ乙醇溶液的 UV-Vis 吸收光谱。

从图 2 可以看出,MOF-5-NH₂@Coumarin 同时出现了 MOF-5-NH₂ 和化合物 III 的吸收峰,表明 MOF-5-NH₂@Coumarin 结合了化合物 III 和 MOF-5-NH₂的光学特性。此外,与化合物 III 的最大吸收波长相比,MOF-5-NH₂@Coumarin 的最大吸收波长明显红移,表明化合物 III 被成功封装在 MOF-5-NH₂的孔道结构中。

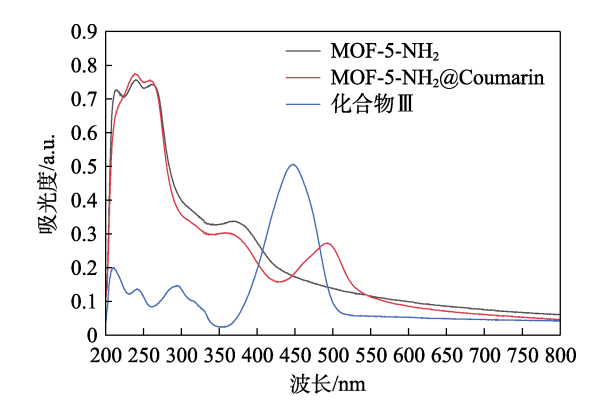


图 2 MOF-5-NH₂、MOF-5-NH₂@Coumarin 和化合物Ⅲ 乙醇溶液的 UV-Vis 吸收光谱

Fig. 2 UV-Vis absorption spectra of MOF-5-NH₂, MOF-5-NH₂@Coumarin and compound Ⅲ solutions

2.1.3 PXRD 分析

图 3 为 MOF-5-NH₂和 MOF-5-NH₂@Coumarin 的 PXRD 谱图。

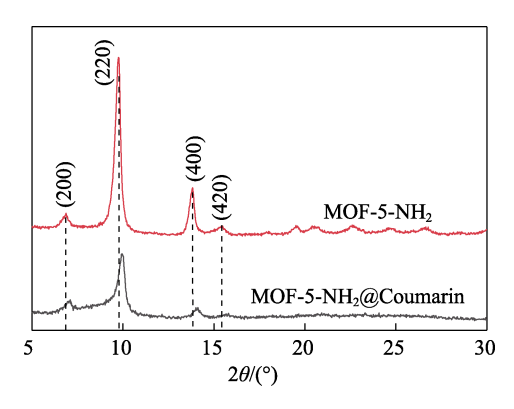


图 3 MOF-5-NH₂和 MOF-5-NH₂@Coumarin 的 PXRD 谱图 Fig. 3 PXRD patterns of MOF-5-NH₂ and MOF-5-NH₂@ Coumarin

从图 3 可以看出,MOF-5-NH₂ 在 2θ =6.86°、9.78°、13.80°和 15.43°处出现了较尖锐的衍射峰,分别对应样品的(200)、(220)、(400)、(420)晶面^[22],表明 MOF-5-NH₂ 结晶度较好,晶相纯度较高;而 MOF-5-NH₂@Coumarin 衍射峰强度比 MOF-5-NH₂ 明显下降,并且 2θ 增大。这可能是因为,在 MOF-5-NH₂@Coumarin 的形成过程中,香豆素占据了 MOF-5-NH₂ 的孔道,使 MOF-5-NH₂@Coumarin 晶体的晶格产生缺陷,引起了结晶度下降^[23]。

2.1.4 FTIR 分析

图 4 为 MOF-5-NH₂、MOF-5-NH₂@Coumarin 和化合物Ⅲ的 FTIR 谱图。

从图 4 可以看出, $MOF-5-NH_2$ 在 3479 和 3368 cm^{-1} 处出现的双吸收峰为 N-H 的对称和不对称拉伸振动;1575 和 1383 cm^{-1} 处的吸收峰分别对应于 $BDC-NH_2$ 配体—COOH 的不对称和对称伸缩振

动;771 cm⁻¹处出现了 BDC-NH₂苯环中 C—H 的面外弯曲振动特征峰。MOF-5-NH₂@Coumarin 同样出现了上述特征峰,表明香豆素的封装并不影响 Zn₄O⁶⁺与 BDC-NH₂ 中一COOH 的配位^[24]。而且 MOF-5-NH₂@Coumarin 在 2970 和 1127 cm⁻¹处还出现了分别代表—N(CH₂CH₃)₂ 中—CH₂ 的吸收峰和内酯环中 C—O—C 的不对称伸缩振动吸收峰。上述特征峰与化合物Ⅲ的特征峰吻合,进一步证明化合物Ⅲ已被成功地封装在 MOF-5-NH₂中。

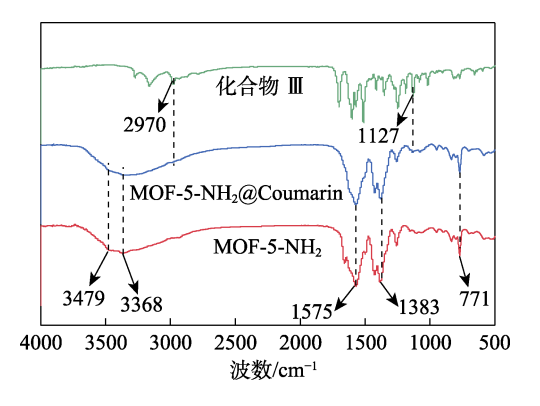
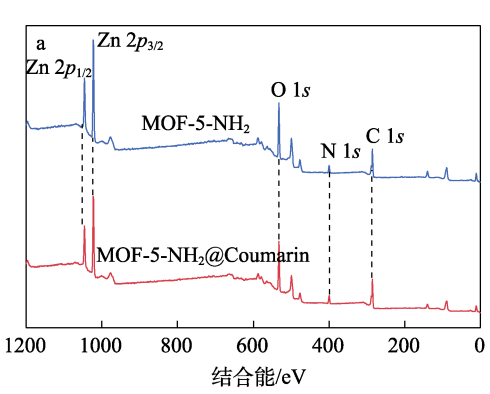
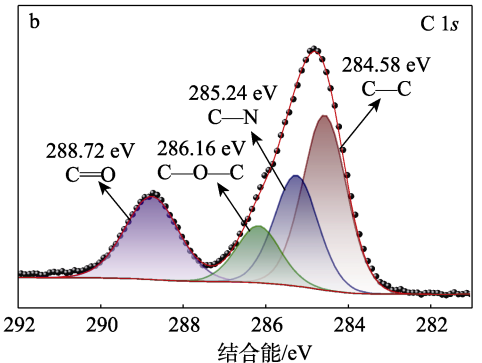


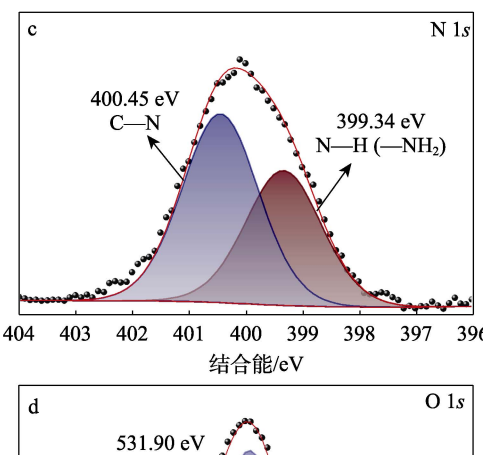
图 4 MOF-5-NH₂、MOF-5-NH₂@Coumarin 和化合物Ⅲ 的 FTIR 谱图

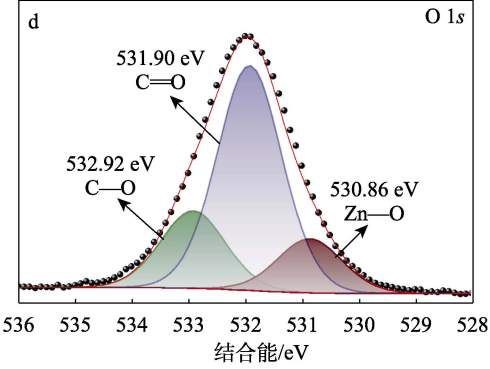
2.1.5 XPS 分析

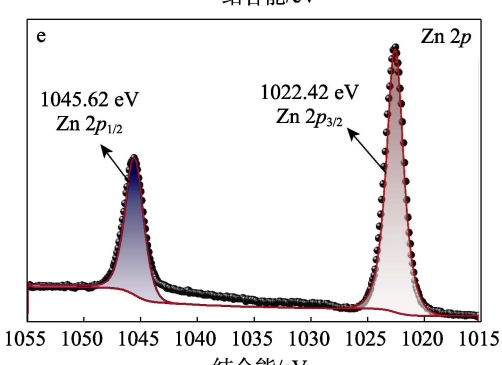
图 5 为 MOF-5-NH₂和 MOF-5-NH₂@Coumarin 的 XPS 谱图。











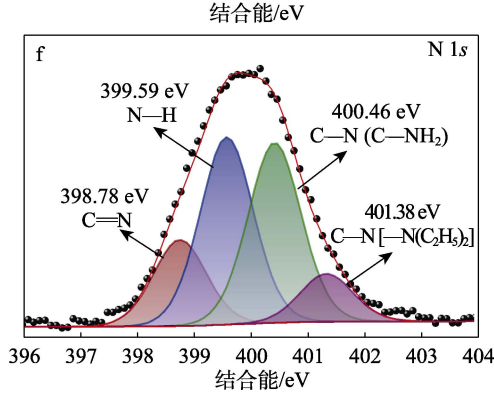


图 5 MOF-5-NH₂和 MOF-5-NH₂@Coumarin 的 XPS 全谱 (a); MOF-5-NH₂的 C 1s(b)、N 1s(c)、O 1s (d)和 Zn 2p(e)高分辨 XPS 谱图; MOF-5-NH₂@Coumarin 的 N 1s 高分辨 XPS 谱图(f)

Fig. 5 Full XPS spectra of MOF-5-NH₂ and MOF-5-NH₂@Coumarin (a); High-resolution C 1s (b), N 1s (c), O 1s (d) and Zn 2p (e) XPS spectra of MOF-5-NH₂; High-resolution N 1s XPS spectrum of MOF-5-NH₂@Coumarin (f)

从图 5a 可以看出, $MOF-5-NH_2$ 和 $MOF-5-NH_2$ @ Coumarin 在结合能 $1020\sim1050$ eV 出现了代表 $Zn\ 2p$ 的特征峰,在 532、399、285 eV 处分别出现了代表

O 1s、N 1s 和 C 1s 的特征峰^[25]。从图 5b 可以看出, MOF-5-NH2在284.58、285.24、286.16和288.72 eV 处的结合能分别代表 BDC-NH₂配体中的 C-C、C-N、 C-O 和 C=O^[26]。从图 5c 可以看出,在 399.34 和 400.45 eV 处的结合能分别归属于 BDC-NH2 中芳香 胺的 N—H 和 C—N 的特征峰^[27];从图 5d 可以看出, 在 530.86 eV 处的结合能对应 Zn—O 的特征峰, 531.90 和 532.92 eV 处的结合能对应—COO—中的 C=O 和 C -O,表明 Zn²⁺与 BDC-NH₂中的-COOH 发生了配 位[28]。从图 5e 可以看出,在 1022.42 和 1045.62 eV 处的 结合能为 $Zn 2p_{3/2}$ 和 $Zn 2p_{1/2}$ 能级的特征峰。结果表明, 成功合成了MOF-5-NH2。从图5f可以看出,MOF-5-NH2@ Coumarin 在 399.59 和 400.46 eV 处的结合能对应 BDC-NH₂中芳香伯胺的 N—H 和 C—N 的特征峰; 在 398.78 和 401.38 eV 处的结合能对应 C=N 和-N(CH₂CH₃)₂ 中 C-N 的特征峰,上述特征峰归属于化合物Ⅲ, 进一步证实化合物Ⅲ与 MOF-5-NH₂ 的成功复合。

2.2 MOF-5-NH₂@Coumarin 对 **Al**³⁺的荧光识别性能 图 6 为 MOF-5-NH₂@Coumarin 在不同 Al³⁺浓度 (700~1700 μmol/L) 乙醇分散液中的荧光滴定光谱 及其荧光强度随 Al³⁺浓度变化的线性拟合曲线。

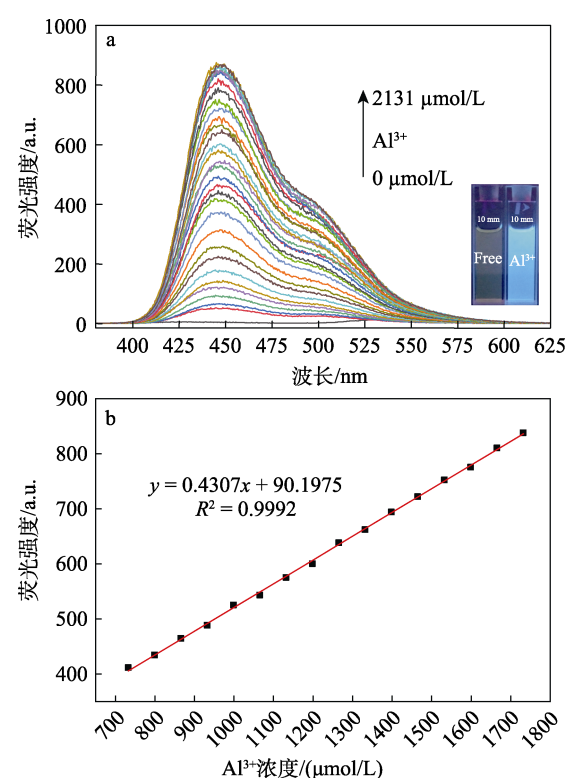


图 6 MOF-5-NH₂@Coumarin 在不同 Al³⁺浓度乙醇分散液中的荧光滴定光谱,插图为溶液加入 Al³⁺(1700 μmol/L)前后紫外灯(365 nm)照射下的照片(a); 荧光强度随 Al³⁺浓度变化的线性拟合曲线(b)

Fig. 6 Fluorescence titration spectra of MOF-5-NH₂@Coumarin in ethanol dispersions with different Al³⁺ concentrations, the insert is photographs of solution before and after adding Al³⁺(1700 μmol/L) under UV light (365 nm) (a); Linear fitting curve of fluorescence intensity as a function of Al³⁺ concentration (b)

从图 6a 可以看出, 当向质量浓度 30 mg/L 的 MOF-5-NH₂@Coumarin 的乙醇分散液中加入不同浓 度 (0~2131 μmol/L) Al³⁺后, 随着 Al³⁺浓度的增加, 体系的荧光强度不断增大。当 Al3+浓度达到 1700 μmol/L 时,体系的荧光强度比浓度 0 μmol/L 时增大 约 162 倍, 达到最大值。继续增加 Al3+浓度, 体系 的荧光强度增加不明显。此外,当 Al3+的浓度在 733~ 1732 μmol/L 的范围内时, MOF-5-NH₂@Coumarin 的荧光强度 (F) 与 Al^{3+} 浓度 (c) 呈良好的线性关 系(图 6b), 其线性拟合方程为 y=0.4307x+90.1975, R^2 =0.9992。根据检出限(LOD)公式,LOD=3 $\sigma/k^{[29]}$ $(\sigma 为 20 个标准空白样的偏差; k 为线性拟合曲线$ 的斜率)可以得出, MOF-5-NH₂@Coumarin 对 Al³⁺ 的 LOD 为 0.163 μmol/L。结果表明,MOF-5-NH₂@ Coumarin 具有较高的识别灵敏度,可以作为选择性 检测 Al³⁺的"开启型"荧光传感器。

图 7 为 MOF-5-NH₂@Coumarin 对 Al^{3+} 的选择性 和竞争性实验结果(Free 代表不加人金属阳离子的 空白样品)。

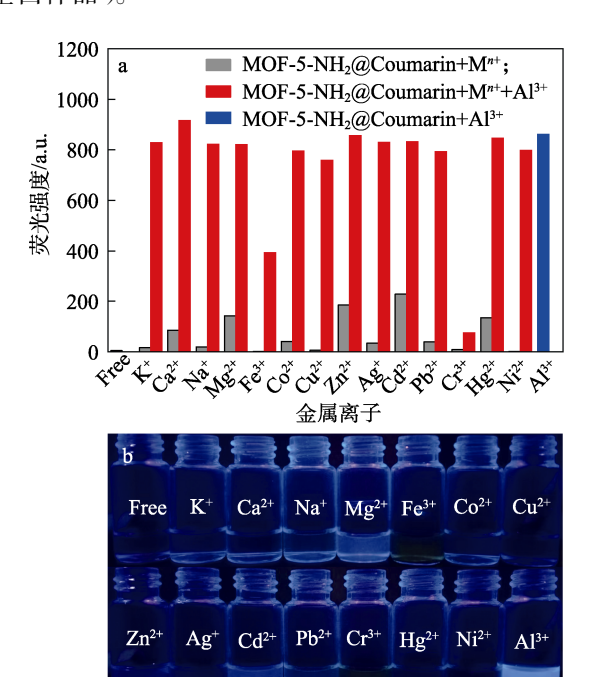


图 7 MOF-5-NH₂@Coumarin 对 Al³⁺的选择性和竞争性 结果 (a); 加入不同金属阳离子 (Mⁿ⁺) 或 Al³⁺时 MOF-5-NH₂@Coumarin 乙醇分散液的荧光变化(b) Fig. 7 Selectivity and competition results of MOF-5-NH₂@ Coumarin for Al³⁺(a); Fluorescent changes of MOF-5-NH₂@Coumarin ethanol dispersion upon addition of different metal cations (Mⁿ⁺) or Al³⁺(b)

从图 7a 可以看出,MOF-5-NH₂@Coumarin 乙醇分散液加入浓度 1700 μ mol/L 的不同金属阳离子 (K^+ 、 Ca^{2+} 、 Na^+ 、 Mg^{2+} 、 Fe^{3+} 、 Co^{2+} 、 Cu^{2+} 、 Zn^{2+} 、 Ag^+ 、 Cd^{2+} 、 Pb^{2+} 、 Cr^{3+} 、 Hg^{2+} 、 Ni^{2+})或 Al^{3+} 后,除

Al³⁺外,体系中加入其他金属阳离子后均无明显的 荧光增强,表明 MOF-5-NH₂@Coumarin 在乙醇中对 Al³⁺有较高的选择性。从图 7a 还可以看出,当 Al³⁺ 与其他金属阳离子共存时,除 Fe³⁺和 Cr³⁺对 MOF-5-NH₂@Coumarin 识别 Al³⁺有一定的干扰外,其他金属阳离子对 Al³⁺检测的干扰都比较小。所以,MOF-5-NH₂@Coumarin 对 Al³⁺的检测具有较好的抗干扰能力。

从图 7b 可以看出,在乙醇中加入不同金属阳离子或 Al³⁺时,只有加入 Al³⁺的样品呈现出了强烈的淡蓝色荧光,加入其他金属阳离子的样品则无明显的荧光增强。所以,探针 MOF-5-NH₂@Coumarin 在乙醇中对 Al³⁺具备较强的裸眼识别能力。

图 8 为 MOF-5-NH₂@Coumarin 对 Al³⁺时间响应的实验结果。

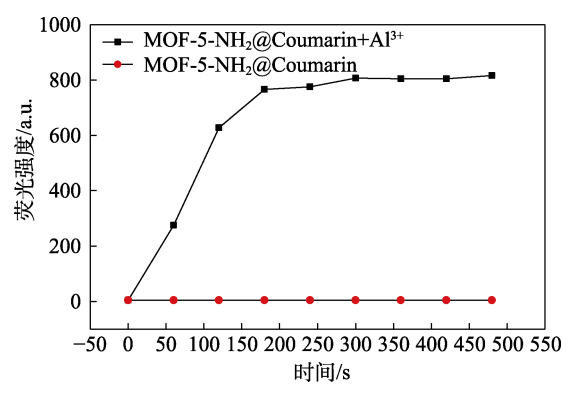


图 8 MOF-5-NH₂@Coumarin 检测 Al³⁺的时间响应曲线 Fig. 8 Time-response curve of MOF-5-NH₂@Coumarin for detection of Al³⁺

从图 8 可以看出,当体系加入 Al^{3+} 200 s 时,体系的荧光强度迅速增加到最大值,之后荧光强度保持稳定,表明 MOF-5-NH₂@Coumarin 可以在较短时间内(<300 s)灵敏地检测 Al^{3+} 。

图 9 为 MOF-5-NH₂@Coumarin 对 Al³⁺的可逆性 识别实验结果。

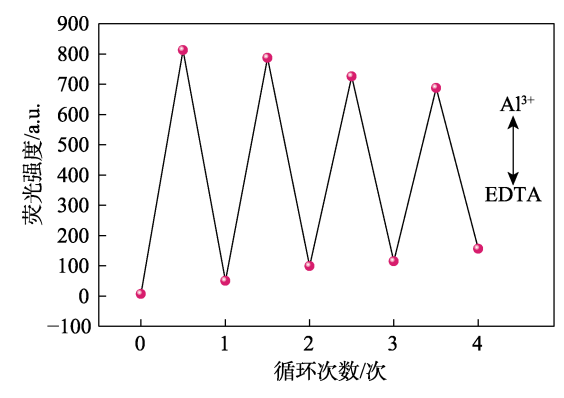


图 9 MOF-5-NH₂@Coumarin 对 Al³⁺的可逆性识别 Fig. 9 MOF-5-NH₂@Coumarin reversibility recognition of Al³⁺

从图 9 可以看出, 当在 MOF-5-NH₂@Coumarin

的乙醇分散液中交替加入 Al³+和 EDTA 后,体系的 荧光强度产生了可逆变化,表明 MOF-5-NH₂@ Coumarin 是以配位的方式与 Al³+相互作用,并且其对 Al³+的检测具备可重复利用的能力。这是因为, Zn²+与 BDC-NH₂在配位过程中会发生四核[Zn₄O]团簇,导致周围羧酸基团缺失,造成其原有的羧基被氢氧根与水分子取代。因此,MOF-5-NH₂@Coumarin 结构会含有一定数量的 Lewis 酸性位点,并使其孔体积和比表面积增加,所以 MOF-5-NH₂@Coumarin 的孔道结构对 Al³+会起到锚定的作用。因此,EDTA不能完全捕获 MOF-5-NH₂@Coumarin 孔道中的 Al³+,这也是在 MOF-5-NH₂@Coumarin 的乙醇分散液中加入 EDTA 后,体系的荧光强度不能完全降至其初始水平的原因[30-33]。

2.3 实际水样检测分析

表 1 为真实水样中 MOF-5-NH₂@Coumarin 检测 Al³⁺的结果。

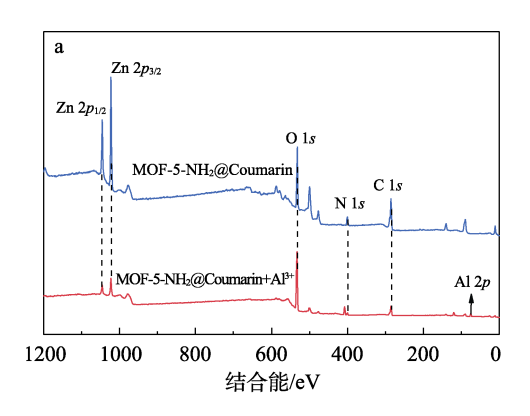
表 1 真实水样中 MOF-5-NH₂@Coumarin 对 Al³⁺的检测 Table 1 Detection of Al³⁺ by MOF-5-NH₂@Coumarin in real water samples

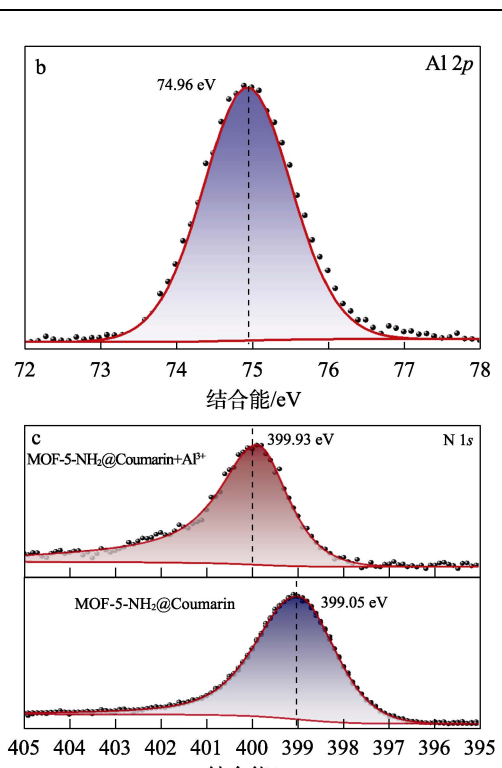
r r				
水样 -	Al³+浓度/(μmol/L)		- 回收率/%	RSD/%
	加入值	测定值	四収平//0	K3D/ /0
湖水	150	152.31	101.54	3.86
	360	360.74	100.02	3.56
自来水	1000	998.42	99.84	2.65
	150	149.65	99.76	2.94
	360	363.86	101.07	3.74
	1000	1014.37	101.44	3.18

从表 1 可以看出,两种水样中 Al^{3+} 回收率(99.76%~101.54%)较高,相对标准偏差(RSD)较小,最高为 3.86%,表明 MOF-5-NH₂@Coumarin 可用于实际水样中 Al^{3+} 的检测,并能够排除潜在干扰物的影响。

2.4 MOF-5-NH₂@Coumarin 对 Al³⁺的识别机理

图 10 为 MOF-5-NH₂@Coumarin 和 MOF-5-NH₂@Coumarin+Al³⁺的 XPS 谱图。





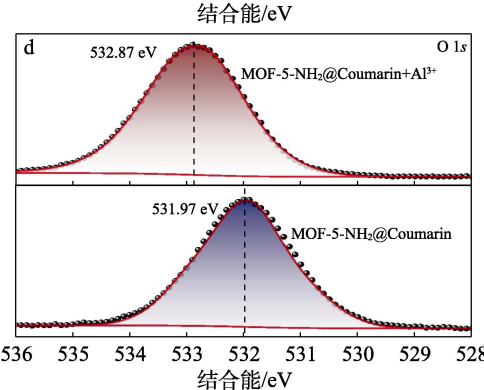


图 10 MOF-5-NH₂@Coumarin+Al³⁺和 MOF-5-NH₂@Coumarin 的 XPS 全谱(a); MOF-5-NH₂@Coumarin+Al³⁺的 Al 2p 高分辨 XPS 谱图(b); MOF-5-NH₂@Coumarin 加入 Al³⁺前后的 N 1s(c)和 O 1s(d)高分辨 XPS 谱图

Fig. 10 Full XPS spectra of MOF-5-NH₂@Coumarin+Al³⁺ and MOF-5-NH₂@Coumarin (a); High-resolution Al 2*p* XPS spectrum of MOF-5-NH₂@Coumarin+Al³⁺ (b); High-resolution N 1*s* (c) and O 1*s* (d) XPS spectra of MOF-5-NH₂@Coumarin before and after adding Al³⁺

从图 10a 可以看出,MOF-5-NH₂@Coumarin 和MOF-5-NH₂@Coumarin+Al³⁺都出现了代表 Zn 2p、O 1s、N 1s 和 C 1s 的特征峰,与 MOF-5-NH₂@Coumarin 相比,MOF-5-NH₂@Coumarin+Al³⁺在结合能 74.96 eV 处出现了 Al 2p 的特征峰,表明MOF-5-NH₂@Coumarin与Al³⁺之间有相互作用^[34],图 10b 也为此结论提供了佐证。而从图 10c 和 d 可以看出,两种样品分别在结合能 399.05 和 399.93 eV处出现了 N 1s 的特征峰,在 531.97 和 532.87 eV 处出现了 O 1s 的特征峰。

上述结果表明,MOF-5-NH₂@Coumarin 加入 Al^{3+} 后,络合物 MOF-5-NH₂@Coumarin+ Al^{3+} 的 N 1s和 O 1s 的结合能增高,反映了 N 和 O 原子的电子密度的降低,说明 Al^{3+} 是与 MOF-5-NH₂@Coumarin 中的 N 原子和 O 原子配位的^[35]。

分别向质量浓度 30 mg/L 的化合物Ⅲ乙醇溶液、MOF-5-NH₂ 与化合物Ⅲ质量比为 1:1 的乙醇分散液中加入不同金属阳离子,测试其荧光响应能力,结果见图 11。

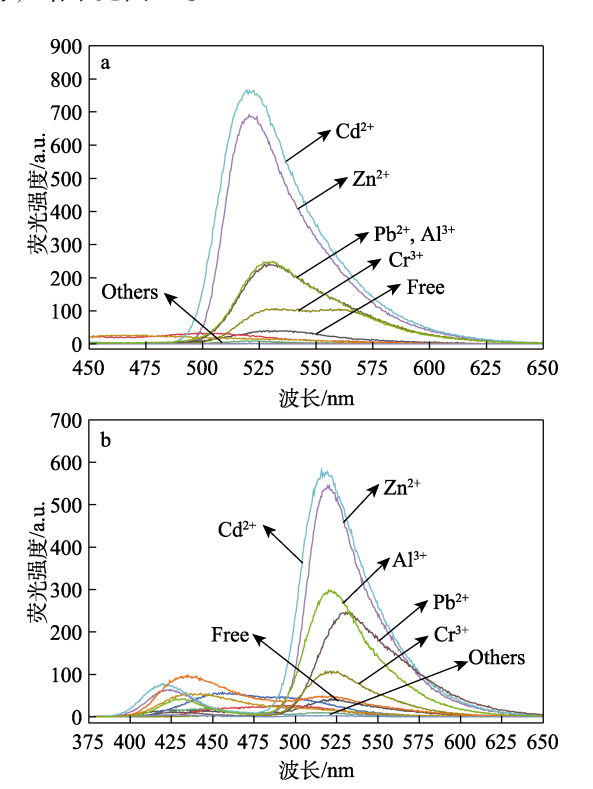


图 11 化合物 II 乙醇溶液 (a)、MOF-5-NH₂ 与化合物 II 乙醇分散液对不同金属离子的荧光响应能力 (b) Fig. 13 Fluorescence responsiveness of ethanol solution of compound III (a) and ethanol dispersion of MOF-5-

NH₂ and compound III to different metal ions (b)

从图 11a 可以看出, 化合物 \blacksquare 乙醇溶液对 Cd^{2+} 、 Zn^{2+} 、 Pb^{2+} 、 Al^{3+} 、 Cr^{3+} 具有不同程度络合作用和荧光响应, $MOF-5-NH_2$ 与化合物 \blacksquare 的乙醇分散液也呈相同趋势,这是因为,化合物 \blacksquare 结构中存在较丰富识别位点(-NH-、C=O等),表明化合物 \blacksquare 、化合物 \blacksquare 与 $MOF-5-NH_2$ 物理混合后的体系并不具备对 Al^{3+} 选择性荧光响应的能力。

将化合物Ⅲ封装在 MOF-5-NH₂ 的孔道内,一方面,修饰后的孔隙空间结构适合于 Al³⁺的进入;另一方面,BDC-NH₂中的—NH₂可以提供 N 原子参与配位,化合物Ⅲ所含有的—NH₂、C—N、C—O 均容易与 Al³⁺配位,这为 MOF-5-NH₂@Coumarin 提供了许多 N 和 O 螯合位点。所以,只有当化合物Ⅲ和

MOF-5-NH₂ 复合在一起形成络合物 MOF-5-NH₂@ Coumarin 时,对 Al³⁺才具有特异性识别的能力。

综合上述分析,MOF-5-NH₂@Coumarin 对 Al^{3+} 的选择性荧光增强,是由其内部的—NH₂、C=N、C=O 与 Al^{3+} 的配位作用及其孔隙对 Al^{3+} 的吸附所产生的。

3 结论

室温下制备了 $MOF-5-NH_2$,采用浸渍法将 7-N,N'- 二乙氨基香豆素-3-氨基硫脲亚氨封装到 $MOF-5-NH_2$ 的孔道内,制备了 MOF 荧光探针 $MOF-5-NH_2$ @ Coumarin。

- (1) 乙醇中,探针 MOF-5-NH₂@Coumarin 对 AI^{3+} 具有特异性荧光增强响应识别能力,检出限为 0.163 μ mol/L,并且具有较强的抗干扰能力和良好的 裸眼识别的能力,可以用于实际水样中 AI^{3+} 的识别 和检测。
- (2) MOF-5-NH₂@Coumarin 对 Al³⁺的选择性荧 光增强,是由其内部的—NH₂、C—N、C—O 与 Al³⁺ 的配位作用及其孔隙对 Al³⁺的吸附所产生的。

本文制备的负载香豆素衍生物的 MOF 荧光探针为开发新型的 Al³⁺传感材料提供了思路。后续将进一步深入研究 MOF-5-NH₂@Coumarin 对 Al³⁺的识别机理,以期在此基础上开发性能更加优异的 Al³⁺传感材料。

参考文献:

- [1] WANG L Y, LI H H, CAO D R. A new photoresponsive coumarin-derived Schiff base: Chemosensor selectively for Al³⁺ and Fe³⁺ and fluorescence "turn-on" under room light[J]. Sensors and Actuators B: Chemical, 2013, 181: 749-755.
- [2] GUPTA V K, SINGH A K, KUMAWAT L K. Thiazole Schiff base turn-on fluorescent chemosensor for Al³⁺ ion[J]. Sensors and Actuators B: Chemical, 2014, 195: 98-108.
- [3] SEN B, SHEET S K, THOUNAOJAM R, et al. A coumarin based Schiff base probe for selective fluorescence detection of Al³⁺ and its application in live cell imaging[J]. Spectrochimica Acta Part A: Molecular and Biomolecular Spectroscopy, 2017, 173: 537-543.
- [4] LI Q P, MA L, LI J Y, et al. Study of a fluorescent system based on the naphthalene derivative fluorescent probe bound to Al³⁺[J]. Micromachines, 2023, 14(4): 868.
- [5] DUAN C X, LIANG K, ZHANG Z N, et al. Recent advances in the synthesis of nanoscale hierarchically porous metal-organic frameworks [J]. Nano Materials Science, 2022, 4(4): 351-365.
- [6] ZHANG Y F (张玉凤), PEI H N (裴浩楠), FAN X Q (樊小青), et al. Synthesis, structure, and methane storage capacity of an indiumbased organic framework[J]. Fine Chemicals (精细化工), 2024, 41(5): 1008-1013, 1021.
- [7] SEOANE B, DIKHTIARENKO A, MAYORAL A, et al. Metal organic framework synthesis in the presence of surfactants: Towards hierarchical MOFs?[J]. CrystEngComm, 2015, 17(7): 1693-1700.
- [8] WANG J X, YIN J, SHEKHAH O, et al. Energy transfer in metalorganic frameworks for fluorescence sensing[J]. ACS Applied Materials & Interfaces, 2022, 14(8): 9970-9986.

- [9] PATEL N, SHUKAL P, LAMA P, et al. Engineering of metal-organic frameworks as ratiometric sensors[J]. Crystal Growth & Design, 2022, 22(5): 3518-3564.
- [10] ZHAO Y, ZENG H, ZHU X W, et al. Metal-organic frameworks as photoluminescent biosensing platforms: Mechanisms and applications [J]. Chemical Society Reviews, 2021, 50(7): 4484-4513.
- [11] JIN J, XUE J J, LIU Y C, et al. Recent progresses in luminescent metal-organic frameworks (LMOFs) as sensors for the detection of anions and cations in aqueous solution[J]. Dalton Transactions, 2021, 50(6): 1950-1972.
- [12] YU Q Y, LI Z, CAO Q, et al. Advances in luminescent metal-organic framework sensors based on post-synthetic modification[J]. TrAC Trends in Analytical Chemistry, 2020, 129: 115939.
- [13] FENG D Y, ZHANG T, ZHONG T Y, et al. Coumarin-embedded MOF UiO-66 as a selective and sensitive fluorescent sensor for the recognition and detection of Fe³⁺ ions[J]. Journal of Materials Chemistry C, 2021, 9(47): 16978-16984.
- [14] HUANG C J, YE Y X, ZHAO L W, et al. One-pot trapping luminescent rhodamine 110 into the cage of MOF-801 for nitrite detection in aqueous solution[J]. Journal of Inorganic and Organometallic Polymers and Materials, 2019, 29: 1476-1484.
- [15] HAN B Y, HU X X, YU M B, et al. One-pot synthesis of enhanced fluorescent copper nanoclusters encapsulated in metal-organic frameworks[J]. RSC Advances, 2018, 8(40): 22748-22754.
- [16] YANG J, RUAN B, YE Q, et al. Carbon dots-embedded zinc-based metal-organic framework as a dual-emitting platform for metal cation detection[J]. Microporous and Mesoporous Materials, 2022, 331: 111630.
- [17] ZHANG N Z, ZHANG D W, ZHAO J, et al. Fabrication of a dual-emitting dye-encapsulated metal-organic framework as a stable fluorescent sensor for metal ion detection[J]. Dalton Transactions, 2019, 48(20): 6794-6799.
- [18] SHANG Y F, WANG H L, BAI H. A coumarin-based turn-on chemosensor for selective detection of Zn(II) and application in live cell imaging[J]. Spectrochimica Acta Part A: Molecular and Biomolecular Spectroscopy, 2020, 228: 117746.
- [19] SANTHIYA K, MATHIVANAN M, THARMALINGAM B, et al. A new 7-(diethylamino)coumarin and 4-(diethylamino)phenol appended unsymmetrical thiocarbohydrazone: Detection of moisture in organic solvent and sequential fluorimetric detection of Cu²⁺ ions and cysteine[J]. Journal of Photochemistry and Photobiology A: Chemistry, 2022, 432: 114105.
- [20] MA W H, XU Q, SONG B, et al. Bis-coumarins bridged by thiocarbazide as novel fluorescent sensor for Fe³⁺[J]. Advanced Materials Research, 2012, 396: 2137-2140.
- [21] ZHONG T Y, LI D L, LI C, *et al.* Turn-on fluorescent sensor based on curcumin@MOF-5 for the sensitive detection of Al³⁺[J]. Analytical Methods, 2022, 14(27): 2714-2722.

- [22] WANG M, GUO L, CAO D P. Amino-functionalized luminescent metal-organic framework test paper for rapid and selective sensing of SO₂ gas and its derivatives by luminescence turn-on effect[J]. Analytical Chemistry, 2018, 90(5): 3608-3614.
- [23] LUO J M, WANG J, XU J L. Effect of laser shock peening on plasma nitriding microstructure and properties of H13 steel[J]. Surface and Coatings Technology, 2023, 473: 130004.
- [24] ZHANG Z (张卓). Preparation and fluorescence sensing properties of metal organic frameworks and their composites[D]. Changchun: Northeast Normal University (东北师范大学), 2022.
- [25] LIU Y Y, FAN J J, HE F, et al. Glycosyl/MOF-5-based carbon nanofibers for highly sensitive detection of anti-bacterial drug quercetin[J]. Surfaces and Interfaces, 2021, 27: 101488.
- [26] CHENG S A, LI Y X, YU Z, et al. Waste PET-derived MOF-5 for high-efficiency removal of tetracycline[J]. Separation and Purification Technology, 2024, 339: 126490.
- [27] ZHANG Y P, JIN Z L, LUAN A, et al. Charge transfer behaviors over MOF-5@g-C₃N₄ with Ni_xMo_{1-x}S₂ modification[J]. International Journal of Hydrogen Energy, 2018, 43(21): 9914-9923.
- [28] CAO J, GUO C, CHEN Z. Loading and release mechanisms of MOF-5@BTA-X [X=—CH₃/—NH₂/—CO(CH₂)₆CH₃]: Experimental and theoretical investigations[J]. Colloids and Surfaces A: Physicochemical and Engineering Aspects, 2023, 666: 131274.
- [29] GYANENDRA K, DHANRAJ T M. Sustainable synthesis of MOF-5@GO nanocomposites for efficient removal of Rhodamine B from water[J]. ACS Omega, 2021, 6(14): 9587-9599.
- [30] ZHONG T Y, LI D L, LI C, et al. Turn-on fluorescent sensor based on curcumin@MOF-5 for the sensitive detection of Al³⁺[J]. Analytical Methods, 2022, 14(27): 2714-2722.
- [31] ZHONG T Y, SUN F X, ZHANG Z, *et al.* A new quercetin@ZIF-8composite as turn-on fluorescent sensor for selective and sensitive detection of Al³⁺ ions[J]. Journal of Photochemistry and Photobiology A: Chemistry, 2023, 440: 114677.
- [32] ZHENG X H, ZHAO Y J, JIA P, et al. Dual-emission Zr-MOF-based composite material as a fluorescence turn-on sensor for the ultrasensitive detection of Al³⁺[J]. Inorganic Chemistry, 2020, 59(24): 18205-18213.
- [33] HU Z G, ZHAO D. Metal-organic frameworks with Lewis acidity: Synthesis, characterization, and catalytic applications[J]. CrystEngComm, 2017, 19(29): 4066-4081.
- [34] El-BINDARY M A, SHAHAT A, EL-DEEN I M, et al. Synthesis of novel fluorescent sensor based on a modified amino Al-MOF for rapid, sensitive, and selective detection of arsenic in aqueous solution [J]. Applied Organometallic Chemistry, 2023, 37(6): e7102.
- [35] ZHU S Y, YAN B. A novel covalent post-synthetically modified MOF hybrid as a sensitive and selective fluorescent probe for Al³⁺ detection in aqueous media[J]. Dalton Transactions, 2018, 47(5): 1674-1681.